

01,05

Магнитная восприимчивость и спиновые флуктуации в несверхпроводящей фазе PuCoGa_5

© А.Г. Волков, А.А. Повзнер

Уральский федеральный университет им. Б.Н. Ельцина,
Екатеринбург, Россия

E-mail: agvolkov@yandex.ru, a.a.povzner@urfu.ru

(Поступила в Редакцию 27 декабря 2017 г.
В окончательной редакции 23 мая 2018 г.)

В рамках модели Хаббарда, дополненной учетом хундовского и спин-орбитального взаимодействия, развиваются представления о тепловых спиновых флуктуациях в сильно-коррелированной системе f -электронов в PuCoGa_5 . Рассматривается влияние флуктуаций спиновых магнитных моментов разных орбиталей на спин-орбитальное расщепление спектра f -электронов. Полученный при этом среднеквадратический магнитный момент позволяет описать наблюдаемую температурную зависимость магнитной восприимчивости ($\chi(T)$) PuCoGa_5 вблизи и выше температуры электронного спаривания. Оценки радиуса спиновых корреляций соответствуют по порядку величины размерам куперовских пар в сверхпроводниках с d -симметрией параметра порядка. В области высоких температур магнитная восприимчивость следует закону Кюри–Вейсса. С понижением температуры, при приближении к температуре спаривания, имеет место подавление ферромагнитной неустойчивости и возникновение температурного максимума $\chi(T)$.

DOI: 10.21883/FIT.2018.12.46717.358

1. Введение

Соединение PuCoGa_5 является сверхпроводником с относительно высоким значением температуры сверхпроводящего перехода $T_{SC} \approx 18.5\text{--}15\text{ К}$ [1,2], которое значительно превышает значения температур возникновения сверхпроводимости других соединениях группы Pu-115 [3]. При этом экспериментально установлена d -симметрия сверхпроводящего параметра порядка этого соединения и получены указания на спин-флуктационный механизм сверхпроводимости [4,5]. Однако природа магнитного состояния и причины формирования спиновых флуктуаций, приводящих с понижением температуры к возникновению сверхпроводимости, требуют особого рассмотрения.

Недавно в рамках GGA + U-расчетов [6,7] было получено, что плотность состояний (DOS) f -электронов PuCoGa_5 вблизи энергии Ферми значительно превышает значения DOS для других (d -, p - и s -) групп электронов. Согласно [7], f -состояния с $j = 7/2$ (орбитальный и спиновый моменты со направлены) оказываются почти пустыми, а f -состояния с $j = 5/2$ (орбитальный и спиновый моменты противоположно направлены) — почти заполнены. При этом имеет место компенсация всех магнитных моментов на узлах Pu ($S = L = J = 0$) [4].

В тоже время на эксперименте наблюдается сильная и немонотонная температурная зависимость магнитной восприимчивости PuCoGa_5 , для которой характерно появление максимума чуть выше $T_{SC} (\approx 0.84T_{\max})$ [2]. Выше температуры максимума магнитная восприимчивость описывается значимостью Кюри–Вейсса с эффективным

моментом $\mu_{\text{eff}} = 0.68\mu_B$ и парамагнитной температурой Кюри $(9 \pm 1.5)\text{ К}$ [2,8]

В настоящей работе рассмотрены спиновые флуктуации в различных орбитальных состояниях и показано, что они приводят к возникновению среднеквадратического спинового магнитного момента на узле. Возникновение максимума температурной зависимости магнитной восприимчивости сопровождается усилением продольных флуктуаций спиновых магнитных моментов f -электронов в различных орбитальных состояниях. Это коррелирует со сменой знака параметра межмодовой связи в функционале Гинзбурга–Ландау, и ведет к исчезновению термодинамической устойчивости ферромагнитного состояния спиновых моментов каждой орбитали непосредственно вблизи температуры сверхпроводимости. Выше температуры максимума восприимчивости имеет место подавление спин-орбитального расщепления электронных состояний и возникает кюри-вейссовская восприимчивость, связанная с поперечными флуктуациями.

2. Статистическая сумма

Важной особенностью, согласно [6,7], оказывающей значительное влияние на электронную структуру и величину магнитного момента f -электронов основного состояния, является LS- и хундовское взаимодействия, величины которых сравнимы с хаббардовским обменным взаимодействием и приводит к расщеплению f -спектров ($\epsilon_{\mathbf{k},m,\sigma}^{(f)}$).

Анализ результатов первопринципных расчетов в GGA+U подходе [6,7] указывает, что электронный спектр f -орбиталей с $m \neq 0$ в основном состоянии PuCoGa_5 приближенно может быть описан выражением

$$\varepsilon_{\mathbf{k},m,\sigma}^{(f)} = \varepsilon_{\mathbf{k}}^{(f)} + m\sigma\Delta_0/|m|, \quad (1)$$

где энергетическая полуширина спин-орбитального расщепления Δ_0 не зависит от орбитального и спинового квантовых чисел. При этом, состояния с $m = 0$ обоих направлений спина не заполнены и поэтому могут быть исключены при описании спин-флуктуационных эффектов.

Для расчета статистической суммы, гамильтониан рассматриваемой системы f -электронов должен учитывать поправки к приближению среднего поля [9], обеспечивающие возможность термодинамических флуктуаций электронной спиновой плотности

$$H^{(f)} = H_0^{(f)} + \delta H_U, \quad (2)$$

$$H_0^{(f)} = \sum_{\mathbf{k},m,\sigma} \varepsilon_{\mathbf{k}}^{(f)} a_{\mathbf{k},m,\sigma}^+ a_{\mathbf{k},m,\sigma} + 2\Delta_0 \sum_m S_{0,m}^{(z)} m/|m|,$$

$$\delta H_U = \frac{1}{4} \sum_q \left[(U - J/2) |\delta n_q|^2 - (U + J) \sum_m |\delta n_{q,m}|^2 \right]$$

$$- \sum_q \left[J |\delta S_q^{(z)}|^2 + (U + J) \sum_m |\delta S_{q,m}^{(z)}|^2 \right], \quad (3)$$

где m — орбитальное магнитное квантовое число, $\sigma (= \pm 1)$ — спиновое квантовое число, J и U — параметры Хаббардовского и гундовского взаимодействий,

$$\delta n_{\mathbf{q}} = \sum_m \delta n_{\mathbf{q},m}, \quad \delta S_{\mathbf{q}} = \sum_m \delta S_{\mathbf{q},m}^{(z)},$$

$$\delta n_{\mathbf{q},m} = \sum_{\sigma} n_{\mathbf{q},m,\sigma} - \delta_{\mathbf{q},0} N_m^{(\text{DFT})}, \quad n_{\mathbf{q},m,\sigma} = a_{\mathbf{k},m,\sigma}^+ a_{\mathbf{k}+\mathbf{q},m,\sigma},$$

$$\delta S_{\mathbf{q},m}^{(z)} = S_{\mathbf{q},m}^{(z)} - \delta_{\mathbf{q},0} M_m^{(\text{DFT})}, \quad S_{\mathbf{q},m}^{(z)} = \sum_{\sigma} \sigma n_{\mathbf{q},m,\sigma} / 2,$$

а $M_m^{(\text{DFT})}$ — спиновый магнитный момент и $N_m^{(\text{DFT})}$ — числа заполнения m -орбитали в DFT-расчетах.

Статистическую сумму электронной системы, описываемой гамильтонианом (2), можно записать в мацубаровском представлении и используя формализм преобразований Стратоновича–Хаббарда (см., например, [10,11]), сводящих многочастичные взаимодействия в (3) к взаимодействию электронов с флуктуирующими обменными (ξ) и зарядовыми (η) полями предста-

вить в виде

$$Z = \ln \int_{-\infty}^{\infty} (d\xi, d\eta) Z(\xi, \eta)$$

$$\times \exp \left\{ - \sum_{q,m} |\eta_{q,m}|^2 - b \left| \sum_{q,m} \eta_{q,m} \right|^2 + (ic/T) \sum_m \eta_{0,m} N_m^{(\text{DFT})} \right\}$$

$$\times \exp \left\{ -a \left| \sum_{q,m} \xi_{q,m} \right|^2 - 2^{-1} \sum_{q \neq 0,m} |\xi_{q,m}|^2 \right.$$

$$\left. - \sum_m \left[2^{-2} \left(\xi_{0,m}^{(z)} - 2c^{-1} \frac{m}{|m|} \Delta_0 \right)^2 + (c/T) M_m^{(\text{DFT})} \xi_{0,m}^{(z)} \right] \right\}, \quad (4)$$

где T — температура в энергетических единицах, $a = JU(U - J)^{-1}(U + 5J)^{-1}$, $b = 4U(U - 5J)^{-1}$, $c = U^{1/2}T^{1/2}$, $Z(\xi, \eta) = \text{Sp } T_{\tau} \exp(-H_{\text{eff}}(\xi, \eta)/T)$ — статистическая сумма электронов, движущихся в одной из конфигураций стохастических обменных (ξ) и зарядовых (η) полей,

$$H_{\text{eff}} = \sum_{k,m,\sigma} \varepsilon_{\mathbf{k}}^{(f)} a_{k,m,\sigma}^+ a_{k,m,\sigma} + \sum_{q,m} [(ic/2)\eta_{-q,m} n_{q,m}$$

$$+ c\xi_{-q,m} \mathbf{S}_{q,m}] \quad (5)$$

— эффективный гамильтониан, $\xi_{q,m}^{(i)} = \mathbf{e}_{q,m}^{(i)} \xi_{q,m}^{(i)}$, $\Delta_0 = \mathbf{e}_{0,m}^{(1)} \Delta_0$ и $\mathbf{M}_m^{(\text{DFT})} = \mathbf{M}_m^{(\text{DFT})} \mathbf{e}_{0,m}^{(1)}$, $\mathbf{e}_{q,m}^{(i)}$ — единичный вектор, направленный вдоль оси квантования реальной ($i = 1$) или мнимой ($i = 2$) части Фурье-образа оператора спина электрона на m -орбите с 4-вектором q , по всем возможным направлениям, которого выполняется последующее усреднение (с одинаковыми „весами“)

$$(d\eta d\xi) = (U - J)U^{-1} \prod_m d\xi_{0,m} d\eta_{0,m} d\Omega_{0,m}^{(1)}$$

$$\times \prod_{q \neq 0,i} d\xi_{q,m}^{(i)} d\eta_{q,m}^{(i)} d\Omega_{q,m}^{(i)},$$

$\Omega_{q,m}^{(i)}$ — телесный угол направлений вектора $\mathbf{e}_{q,m}^{(i)}$.

Квантово-статистическое усреднение с гамильтонианом H_{eff} (см. (5) и (4)) в выражении для статистической суммы выполним путем распространения приближения однородных локальных полей [10] на вершинные части ряда по степеням $\xi_{q,m}^{(i)}$. В рамках этой процедуры необходимо учесть пространственно-временную неоднородность вершинных частей второго порядка, к которым сводится фактор обменного усиления магнитной восприимчивости m -орбитали

$$\ln Z(\xi, \eta) = \sum_{v,m} \ln Z(\xi_{v,m}, \eta_{v,m}) - \sum_q X_q |\xi_{q,m}|^2.$$

Вычисления функциональных интегралов (4) аналогично [11] проведем в приближении седловой

точки по переменным $\eta_{q,m}$, $r_{q,\gamma,m} (= \sum_{i=1,2} (\xi_{q,\gamma,m}^{(i)})^2)$ и $\phi_{q,\gamma,m} = \arg(\xi_{q,\gamma,m})$ (причем $\phi_{q=0,\gamma,m} = 0$ при $q = 0$). Поскольку флуктуации заряда на узле и, связанных с ними, продольных компонент спиновой плотности ведут к большим флуктуациям электронных энергий, а, следовательно, являются маловероятными, учтем $\delta\eta_{v,m} (= \eta_{v,m} - \eta_{0,m})$ и $\delta\xi_{v,m}^2 (= \xi_{v,m}^2 - |\xi_m|^2)$ в среднеквадратическом приближении. Тогда уравнения для перенормированных значений можно представить в виде

$$r_{q,\gamma,m} \left(1 + a + X_q - \frac{\partial Z(|\xi_m|, \eta_{0,m})}{2|\xi_m| \partial |\xi_m|} \right) - \frac{\partial^2 Z(|\xi_m|, \eta_{0,m})}{2|\xi_m|^2 \partial^2 |\xi_m|} N_0^{-1} \times \sum_v \left\langle e^{i(qv + \phi_{q,\gamma,m})} \xi_{q,\gamma,m} \delta \xi_{v,m}^2 \right\rangle_\phi - \frac{\partial^2 Z(|\xi_m|, \eta_{0,m})}{2|\xi_m| \partial \eta_{0,m} \partial |\xi_m|} N_0^{-1} \times \sum_v \left\langle e^{i(qv + \phi_{q,\gamma,m})} \xi_{q,\gamma,m} \delta \eta_{v,m} \right\rangle_\phi = (1 - \delta_{q,0}) / r_{q,\gamma,m}, \quad (6)$$

$$\eta_{0,m} - (ic/T) N_m^{(\text{DFT})} = \frac{\partial Z(|\xi_m|, \eta_{0,m})}{2 \partial \eta_{0,m}}. \quad (7)$$

Здесь,

$$\delta \eta_{v,m} = \frac{\partial^2 Z(|\xi_m|, \eta_{0,m})}{2|\xi_m| \partial |\xi_m| \partial \eta_{0,m}} \left(\frac{\partial^2 Z(|\xi_m|, \eta_{0,m})}{\partial^2 \eta_{0,m}} \right)^{-1} \delta \xi_{v,m}^2,$$

$$|\xi_m|^2 = N_0^{-1} \sum_v \xi_{v,m}^2 \left(= \sum_{q,\gamma} r_{q,\gamma,m}^2 \right),$$

$$\langle (\dots) \rangle_\phi = \int (\dots) \prod_{q \neq 0, \gamma, m} (2\pi)^{-1} d\phi_{q,\gamma,m}.$$

Уравнения (6), (7) описывают орбитально зависимые спиновые и зарядовые флуктуации в системе сильно коррелированных электронов со спин-орбитальным расщеплением электронного спектра (1). Для анализа термодинамической устойчивости магнитных состояний, магнитных и магнитной восприимчивости необходим учет конкретной электронной структуры и межэлектронных взаимодействий в состояниях с различными спиновыми и орбитальными квантовыми числами.

3. Электронные флуктуации и магнитная восприимчивость

Согласно результатам GGA + U-моделирования электронной структуры PuCoGa₅ [7], величина хаббардовского отталкивания $U = 1$ eV, параметр гундовского обменного взаимодействия $J = 0.512$ eV, а спин-орбитальное расщепление электронных спектров — $\Delta_0 = 1, 2$ eV. Плотность состояний f -электронов, отвечающая разным значениям m в зоне $j = 5/2$, слабо зависит от m при $|\varepsilon - \mu| \leq \Delta_0 \sim 1$ eV [7]. При этом зону с $j = 7/2$ будем считать пустой.

В развиваемом подходе рассматриваются эффекты расщепления электронных состояний во флуктуирующих обменных полях. При этом в условии электронейтральности (7) фигурирует плотность состояний, учитывающая эффекты указанных перенормировок¹

$$g(\varepsilon, M_L) = \sum_\alpha g_\alpha(\varepsilon, M_L),$$

$$g_\alpha(\varepsilon, M_L) = (4l)^{-1} \sum_{m \neq 0, \sigma} (1 + \alpha m \sigma \Delta / |m| M_L) \times g_{m,\sigma}^{(\text{DFT})}(\varepsilon - \alpha \Delta_{m,\sigma}^{(\alpha)}). \quad (8)$$

Здесь, $g_{m,\sigma}^{(\text{DFT})}(\varepsilon) (= N^1 \sum_{\mathbf{k}} \delta(\varepsilon - \varepsilon_{\mathbf{k},n,\sigma}^{(f)}))$ — GGA + U-плотность электронных состояний с $m \neq 0$, l — значение орбитального квантового числа, $\Delta_{m,\sigma}^{(\alpha)} = U M_L - \alpha m \sigma \Delta_0 / |m|$, $M_L = ((\Delta/U)^2 + \langle \mathbf{M}^2 \rangle)^{1/2}$ — среднеквадратический локальный магнитный момент состояний с $m \neq 0$, отнесенный к одной орбитали, при условии, что суммарный магнитный момент всех орбиталей равен нулю, причем согласно (6)

$$\Delta(D^{-1}(M_L) + a) = \Delta_0(D^{-1}(M_L) + a - \kappa \langle \mathbf{M}^2 \rangle_T / 3). \quad (9)$$

Отметим, что согласно (9) при $\kappa = 0$ величина спин-орбитального расщепления не зависит от температуры — $\Delta = \Delta_0$, в противном случае, имеет место температурно-зависимая перенормировка спиновыми флуктуациями.

Для определения амплитуды спиновых флуктуаций в почти заполненной зоне с $j = 5/2$ воспользуемся известной аппроксимацией функции Линдхарда

$$X(\mathbf{q}, \omega) = \left(A \mathbf{q}^2 / k_F^2 - i B T_0^{-1} \frac{\omega}{|\mathbf{q}/k_F|} \theta(T_0 |\mathbf{q}/k_F| - \omega) \right) \times \theta(2k_F - q),$$

где коэффициенты A и B пропорциональны плотности электронных состояний на уровне Ферми, $T_0 (= V_F k_F)$, V_F — скорости электронов на поверхности Ферми, в приближении эффективной массы (m_{eff}), определяемая равенством — $V_F = (2\varepsilon_F / m_{\text{eff}})^{1/2}$, k_F — модуль вектора Ферми. В результате, при $T \ll T_0$ имеем следующее выражение для амплитуды спиновых флуктуаций, отнесенной к одной орбитали,

$$\langle \mathbf{M}^2 \rangle_T = B_0 (m_{\text{eff}} / m_e) (T/U)^2 (D^{-1}(M_L) + a + A)^{-1} \times (D^{-1}(M_L) + a)^{-1}. \quad (10)$$

где μ — химический потенциал, определяемый из условия электронейтральности для числа частиц (электронов),

$$D^{-1}(M_L) = 1 - U \chi_\perp - \kappa \langle \mathbf{M}^2 \rangle_T / 3, \quad (11)$$

¹ Аналогичное выражение получается при вычислении одноэлектронной функции в методе производящего функционала.

$$\chi_{\perp} = (2UM_L)^{-1} \sum_{\alpha=\pm 1} \alpha \int_{-\infty}^{\infty} g_{\alpha}(\varepsilon, M_L) f(\varepsilon - \mu) d\varepsilon,$$

$$\chi_{\parallel} = 2 \left(\sum_{\alpha} g_{\alpha}(\mu, M_L) \right)^{-1} \prod_{\alpha} g_{\alpha}(\mu, M_L), \quad (12)$$

$$\kappa = UM_L^2 (\chi_{\perp} - \chi_{\parallel}) \quad (13)$$

— параметр межмодовой связи, обусловленный различием вкладов продольных и поперечных спиновых флуктуаций в функционал свободной энергии.

Тогда, используя термодинамическое определение магнитной спиновой восприимчивости, имеем выражение

$$\chi = 2U^{-1} 4l [(D^{-1}(M_L) + a)^{-1} - 1]. \quad (14)$$

Для вычисления магнитной восприимчивости воспользуемся модельной функцией плотности электронных состояний ($g_{m,\sigma}^{\text{DFT}}(\varepsilon)$), полученной в рамках кусочно-линейной аппроксимации результатов [7]. Для параметров функции Линдхарда, использовались известные из электронной физики металлов значения: $A \approx 1/12$, $B_0 \approx \pi/3$ и значение эффективной массы $m_{\text{eff}} \approx 10m_e$, согласующееся с [8].

Результаты вычисления температурной зависимости спиновой восприимчивости (14) представлены на рис. 1. Последнее коррелирует с температурной зависимостью среднеквадратического магнитного момента M_L (рис. 2).

Кроме того, расчеты показывают, что в рассматриваемой модели, вблизи температурного максимума спиновой магнитной восприимчивости имеет место смена знака $\kappa(T)$ (рис. 2), что согласно уравнению магнитного состояния (11) соответствует подавлению ферромагнитной неустойчивости в интервале температур от T_{max}

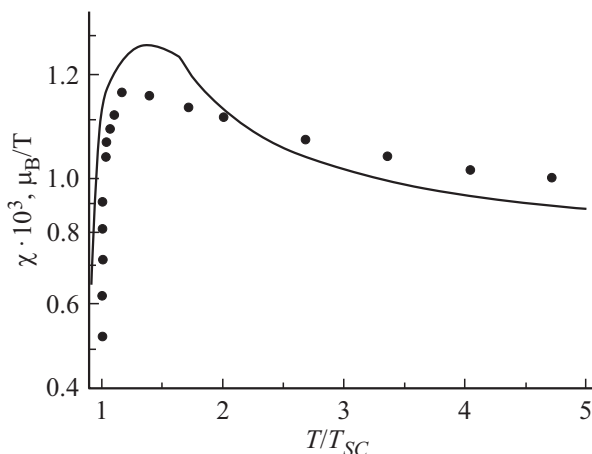


Рис. 1. Температурная зависимость восприимчивости PuCoGa_5 в логарифмическом масштабе (левая ось): сплошная линия — результаты расчета, точки соответствуют эксперименту [2]. (При $T > 2T_{SC}$ температурная зависимость парамагнитной восприимчивости описывается законом Кюри–Вейсса со значением температуры Кюри — 10.8 К).

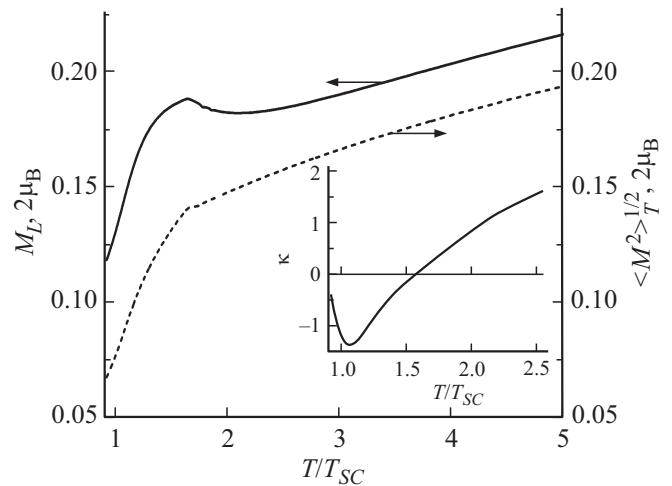


Рис. 2. Температурные зависимости среднеквадратического магнитного момента (сплошная линия) и амплитуды тепловых флуктуаций спиновой плотности (пунктирная линия) орбитали в единицах. На вставке температурная зависимость параметра межмодовой связи.

до T_{SC} . При этом сохраняются значительные спиновые корреляции, радиус которых

$$R_C(M_L) = A^{-1/2} (D^{-1}(M_L) + a)^{-1/2}$$

в интервале температур от T_{max} до T_{SC} , резко уменьшается примерно на порядок от 30 периодов решетки, принимая значения сопоставимые с размерами куперовских пар в ВТСП-купратах.

Выше температуры максимума магнитной восприимчивости возникает перемешивание электронных состояний с различными $j = 5/2$ или $7/2$ (и с $m \neq 0$), которое должно сопровождаться спиновыми переворотами (поперечные спиновые флуктуации). При этом χ_{\parallel} стремится к нулю, что соответствует картине температурно-индуцированных локальных магнитных моментов с поперечными флуктуациями и приводит к реализации кюри-вейссовской температурной зависимости спиновой восприимчивости (рис. 1). Согласно расчетам параметра межмодовой связи (рис. 2) последнее соответствует наличию высокотемпературной ферромагнитной неустойчивости.

4. Заключение

Таким образом, в условиях спин-орбитального расщепления состояний f -электронов в PuCoGa_5 , приводящего к компенсации спиновых моментов различных орбиталей, возможны сильные спиновые флуктуации вблизи температуры фазового перехода в сверхпроводящее состояние, сопровождаемого спин-флуктуационным синглетным спариванием (см. рис. 2). Особенности зонной структуры обеспечивают термодинамическую неустойчивость ферромагнитного состояния (рис. 1).

В отсутствие этих особенностей (в частности спин-орбитального расщепления) в системе коррелированных электронов был бы возможен магнитный фазовый переход в ферромагнитное состояние (см. [12]). Вместо этого возникает температурный максимум магнитной восприимчивости (вблизи T_{SC}), а при дальнейшем понижении температуры — куперовское спаривание.

Величина амплитуды спиновых флуктуаций в системе f -электронов определяется параметрами межэлектронного взаимодействия и величиной их эффективной массы. При переходе к тяжело фермионным системам значение эффективной массы должно возрастать по сравнению с нашими оценками для PuCoGa_5 примерно на два порядка. Это приведет к аналогичному увеличению среднего квадрата спиновых флуктуаций и к сжатию масштаба температур на порядок. Последнее соответствует (по порядку величины) наблюдаемым значениям характерных температур, вблизи температуры спаривания актинидных и цериевых соединений с тяжелыми фермионами.

Рассмотренная картина получена в предположении о доминирующей роли сильно коррелированных f - (а не d -) электронов, которая вытекает из первопринципных GGA + U расчетов. При этом мы не рассматриваем, получаемый в DMFT-приближении конечно температурный тяжело фермионный пик сильно затухающих состояний. Наличие такого эффекта не позволило бы получить наблюдаемое на эксперименте увеличение температуры сверхпроводимости для PuCoGa_5 , в результате которого он занимает промежуточное положение между тяжело-фермионными сверхпроводниками и ВТСП-купратами.

Список литературы

- [1] J.L. Sarrao, L.A. Morales, J.D. Thompson, B.L. Scott, G.R. Stewart, F. Wastin, J. Rebizant, P. Boulet, E. Colineau, G.H. Lander. *Nature* **420**, 297 (2002).
- [2] A. Hiess, A. Stunault, E. Colineau, J. Rebizant, F. Wastin, R. Caciuffo, G.H. Lander. *Phys. Rev. Lett.* **100**, 076403 (2008).
- [3] P. Boulet, E. Colineau, F. Wastin, J. Rebizant, P. Javorsky, G.H. Lander, J.D. Thompson. *Phys. Rev. B* **72**, 104508 (2005).
- [4] D. Daghero, M. Tortello, G.A. Ummarino, J.-C. Griveau, E. Colineau, R. Eloirdi, A.B. Shick, J. Kolorenc, A.I. Lichtenstein, R. Caciuffo. *Nature Commun.* 3:786. doi: 10.1038/ncomms1785 (2012).
- [5] C. Pfleiderer. *Rev. Mod. Phys.* **81**, 1551 (2009).
- [6] Jian-Xin Zhu, P.H. Tobash, E.D. Bauer, F. Ronning, B.L. Scott, K. Haule, G. Kotliar, R.C. Albers, J.M. Wills. *EPL* **97**, 57001 (2012).
- [7] W.H. Brito, S. Choi, G. Kotliar. arXiv:1710.06956v1 [cond-mat.str-el]
- [8] J.D. Thompson, J.L. Sarrao, L.A. Morales, F. Wastin, P. Boulet. *Physica C* **412–414**, 10 (2004).
- [9] S.L. Dudarev, G.A. Botton, S.Y. Savrasov, C.J. Humphreys, A.P. Sutton. *Phys. Rev. B* **57**, 1505 (1998).
- [10] J.A. Hertz, M.A. Klenin. *Phys. Rev. B* **10**, 1084 (1974).
- [11] T. Moriya. *Electron Correlations and Magnetism in Narrow Band Systems*. Springer-Verlag, Berlin–Heidelberg (1985). 252 p.
- [12] R. Eloirdi, C. Giacobbe, P. Amador Celdran, N. Magnani, G.H. Lander, J.-C. Griveau, E. Colineau, K. Miyake, R. Caciuffo. *Phys. Rev. B* **95**, 094517 (2017).

Редактор Т.Н. Василевская